

<論 文>

動力發生用 스크루우膨脹機에 관한 研究

谷口 博* · 梁玉龍** · 工藤 一彦* · 朴日煥***

(1986年 4月 18日 接受)

A Study on Screw Expander for Power Generation

Hiroshi Taniguchi, Ok-Yong Yang, Kazuhiko Kudo
and Il-Hwan Park

Key Words: Energy Conversion Machine(에너지變換機械), Screw Expander(스크루우膨脹機)
Two-phase Flow(二相流), Leakage(漏泄), Performance Analysis(性能解析)

Abstract

This work is a description of a fundamental study on a screw expander which generates electric power from hot water or water-steam mixture. This energy conversion machine is a volumetric rotary engine which can accept two-phase mixture. It is expected to work without erosion and slip loss between liquid and vapor under two-phase flow condition. The expander used for this analysis has two screw type rotors with the diameter of 81.6mm, the length of 135mm.

In the analysis, special attention is paid for the modeling of the internal leakage simulation.

As a result, it is shown that the rotor revolution, the dryness of working fluid and leakage in the screw expander affect on the internal efficiency and the volumetric efficiency, and the over expansion or the under expansion of working fluid in the expander causes a decrease of the internal efficiency of the screw expander.

記 號 說 明

<i>A</i>	:面 積	<i>P</i>	:壓 力
<i>E</i>	:液體熱媒體의 體積彈性係數	<i>Q</i>	:熱 量
<i>G</i>	:熱媒體의 質量流量	<i>t</i>	:時 間
<i>H, h</i>	:엔탈피, 比엔탈피	<i>T</i>	:溫 度
<i>L_i</i>	:內部일	<i>U, u</i>	:內部에너지, 比內部에너지
<i>M</i>	:面積 一次 모우엔트	<i>V, v</i>	:體積, 比體積
		<i>x</i>	:乾 度
		<i>Z</i>	:回轉子 \circ (齒)의 數
* 北海道大學 工學部		α	:流量係數
** 正會員, 仁荷大學校 工科大學 機械工學科		ρ	:密 度
*** 正會員, 北海道大學 大學院			

* 北海道大學 工學部
** 正會員, 仁荷大學校 工科大學 機械工學科
*** 正會員, 北海道大學 大學院

ϕ	: 숫回轉子의回轉角
ω	: 流速
η_i	: 内部效率
η_v	: 體積效率

添字

ba, bb	: 沸騰後, 沸騰前
es, ee	: 吐出開始, 吐出終了
i, o	: 流入, 流出
int, ex	: 吸入, 吐出
li, lo	: 漏泄流入, 漏泄流出
lk	: 漏泄
l, g	: 液, 가스
m, f	: 丗回轉子, 암回轉子
sat	: 飽和
X, Y	: X 面, Y 面
$\overline{\quad}$: At 사이의 平均值

1. 序論

에너지節約의見地로부터 지금까지利用하지 못하고 있는低質에너지의有効利用에對한技術의開發은社會的重要課題중에 하나이다. 現在, 發電所혹은工場等의廢熱이라든가地熱水로부터動力を回收할目的의研究들이행해지고 있으나,一般的으로얻어질수 있는熱量이小規模인問題와熱媒體가既存의動力發生機에는不適當한問題等으로實用化되지 못하고 있는것이사실이다. 廢熱로부터가장손쉽게얻을수 있는熱媒體로서는熱水혹은乾度가낮은濕蒸氣를들 수 있으나, 이와같은熱媒體의경우膨脹途中에氣液間의相變化에의한熱物質移動이流動特性을變化시키므로이에適切한動力發生機의開發이必要하다. 이動力發生機로서, 터보형을適用하는경우는小規模에의한efficiency의低下와二相流의流動特性에의한氣液間의미끄름損失그리고液滴에의한腐蝕등의問題는피할수없다.

이와같은觀點으로부터本研究에서는이것에適切한動力發生機로서液滴에의한腐蝕과氣液間의미끄름損失의問題가적고또한小規模에서부터中規模까지適用할수있다고생각되어지는回轉容積形의스크루우式膨脹機를採用하여그實用化的妥當性을檢討하였다. 從來이分野의研究로서地熱의有効利用을 위한全flow膨脹方式(Total Flow Expand Type)의스크루우엔진에關於實驗的研究⁽¹⁾, 半徑外向反動터빈(Radial Outflow Reaction Turbine : Hero's Turbine)에

關於研究⁽²⁾, 방阱엔진을改造한回轉式二相流膨脹機에關於研究⁽³⁾等이 행해지고 있다. 이研究들은二相流膨脹機의適用性에對해서蒸氣혹은空氣一水의二相流를熱媒體로하는實驗的研究이며, 그基本性能에對한解析은행해지고있지않다. 한편蒸氣壓縮式熱펌프사이클의膨脹過程에서의膨脹 일을回收하는二相流膨脹機에關於研究^(4,5)가행해져Freon R12을熱媒體로하는實驗에서回轉數가3000rpm일때有効efficiency이約65%에달한結果가報告되어있다.

本研究에서는飽和水혹은濕蒸氣를熱媒體로한스크루우膨脹機의回轉子回轉角에의한回轉子間體積變化,吸入口의面積變化,膨脹機內에서의漏泄通路變化等의幾何學的特性와吸入口와漏泄通路에서의臨界流速을考慮한解析프로그램을開發하여回轉子回轉數吸入熱媒體의乾度,吸入·吐出壓力比그리고膨脹機內部에서의漏泄等의效果에對한解析을행하여스크루우膨脹機의動力發生機로서의實用性을檢討하였다.

2. 膨脹機의構造

스크루우膨脹機의作動原理는Fig. 1에表示하는바와같이 압수의丗回轉子가서로물고돌아갈때암回轉子와숫回轉子그리고케이싱으로둘러쌓인空間體積이變化하며,이空間體積속의熱媒體가膨脹할때回轉子에回轉일이주어진다. 또回轉子의'回轉과함께膨脹機내의各回轉子사이의空間體積(以下回轉子間體積이라고칭한다.)에서吸入,膨脹,吐出의各行程이同時에행해지므로서斷續的인動力發生이아니라連續的으로動力を얻을수있다. Table 1에解析에

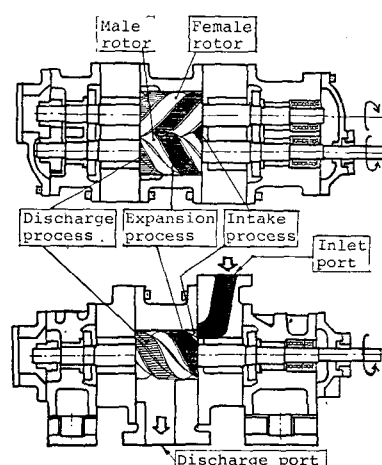


Fig. 1 Operating principles of screw expander

Table 1 Basic data of rotor

Rotor diameter	81.6 mm
Rotor length	135.0 mm
Male rotor	4 piece
Female rotor	6 piece
Volume ratio	5
Wrap angle	300°
Tooth profile	Asymmetry

適用한 膨脹機의 回轉子諸元을 나타내고 있다.

2.1 容積曲線

압수의 兩回轉子와 케이싱으로 둘러쌓인 回轉子間體積은, 回轉子의 頂點과 케이싱의 接觸部分, 그리고 암回轉子와 칫回轉子 사이의 接觸部分에서의 境界線인 시일라인(Seal line)으로부터 求할 수 있다.

Fig. 2는 이 시일라인을 平面에 投影하여 나타낸 것이다. 回轉子의 軸을 z 軸으로 하여, z 軸에 直角軸을 y 軸으로 한다면, X 面에 投影한 시일라인의 圖形에 따른 面積一次 모우엔트 M_x 와 Y 面에 投影한 시일라인의 圖形에 따른 面積一次 모우엔트 M_y 를 이용하면 假想일의 原理(Principle of Virtual Work)⁽⁶⁾에 따라 式 (1)로서 回轉子間體積을 구할 수 있다.

$$P \cdot dV = T \cdot d\phi \quad (1)$$

여기서, T 는 하나의 回轉子間體積에 의해 驅動回轉子에 作用하는 토크이며 다음 式 (2)로 나타낼 수 있다.

$$T = P[(M_{x,n} + M_{y,n}) + Z_n/Z_f(M_{x,f} + M_{y,f})] \quad (2)$$

따라서 體積은 式 (1), (2)로부터

$$V = \int [(M_{x,n} + M_{y,n}) + Z_n/Z_f(M_{x,f} + M_{y,f})] d\phi + C \quad (3)$$

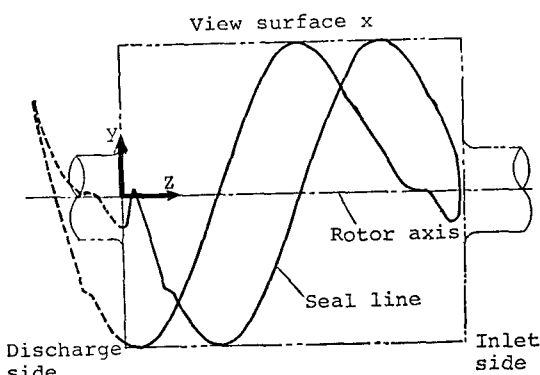


Fig. 2 Projection of seal line

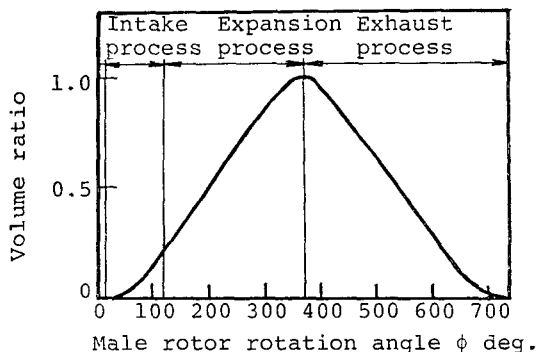


Fig. 3 Variation of expansion volume

式 (3)은 全平面圖形에 관한 積分이며, 주어진 시일라인에 對한 數值積分에 의해 體積이 計算된다. 이와 같은 方法으로 計算한 칫回轉子의 回轉角에 따른 體積變化를 이것의 最大值로 無次元화 하여 Fig. 3에 表示하였다.

2.2 吸入孔, 吐出孔開口面積 및 漏泄面積

吸入孔은 칫回轉子回轉角이 10°일 때 열리기 시작하여 120°에 達하면 완전히 닫힌다. 또한 吐出孔은 375°부터 열리기 시작하여 720°에서 하나의 回轉子間體積의 한 사이클이 끝나게 된다. 吸入孔의 開口面積變化와 吐出孔의 開口面積變化를 一般化를 위해 이들의 最大值으로 無次元화하여 Fig. 4에 표시하였다. 스크루 우 膨脹機에는 Fig. 5에 A~F로 표시한 바와같이複雜한 漏泄通路를 갖고 있다. 이를 漏泄通路는 漏泄出口에 따라 2 가지로 分類할 수 있다. 하나는 칫回轉子回轉角이 90° 앞서가는 隣接回轉子間體積에로의 漏泄과, 또 다른 하나는 吐出孔에로의 直接漏泄이다. 이를에 대한 說明을 Table 2에 표시하였다. 또한 이들 漏

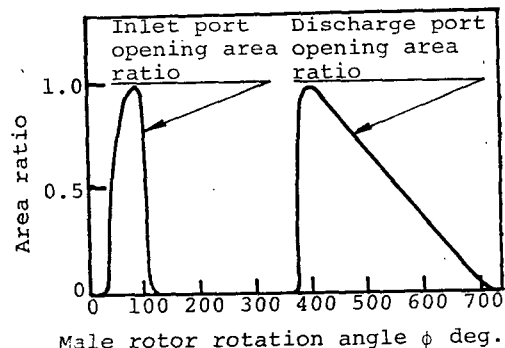


Fig. 4 Variation of opening area of inlet & discharge port

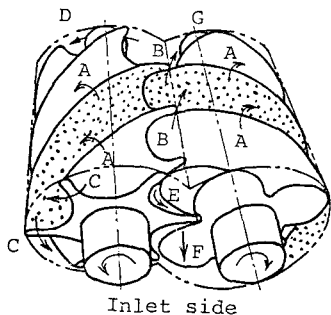


Fig. 5 Leakage paths

Table 2 Leakage paths

	A	Seal line between rotor & casing
Leakage to adjacent expansion volume	B	Triangular blow hole which is formed between two rotors & casing
	C,D	Clearance between the rotor end & the end plate of casing
	E	Clearance between male & female rotors
Leakage to discharge port	F,G	Clearance between the rotor end & the end plate of casing

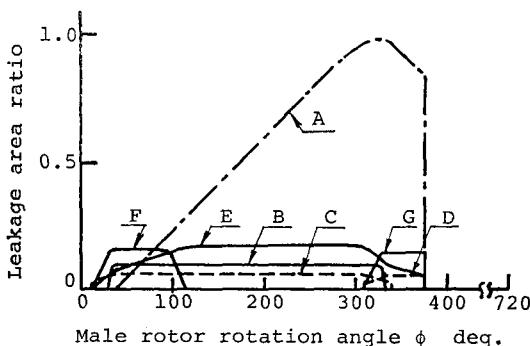


Fig. 6 Variation of leakage area

泄通路의 漏泄面積變化를 漏泄面積 A 의 最大값으로無次元화하여 Fig. 6에 나타내었다.

3. 理論解析

3.1 解析모델

Fig. 1에 斜線으로 表示한 回轉子間體積이 回轉子

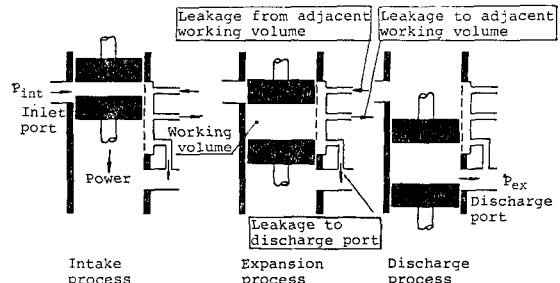


Fig. 7 Model of screw expander

의 回轉과 함께 吸入-膨脹-吐出의 各行程을 행한다. 이들各行程을 Fig. 7과 같은 피스톤式膨脹機로 모델화하여, 各行程에 있어서의 漏泄을 考慮, 計算微少時間 Δt 後의 回轉子間體積 속에 热媒體의 狀態量變化를 計算한다. 解析에 있어서 다음과 같은 假定을 하였다. (1) 로우터間內의 二相流는 均質流로 한다. (2) 吸入孔 및 漏泄通路에 있어서의 热媒體通過過程은 等 엔트로피過程이며 热力學的으로 平衡狀態에 있다. (3) 液體의 热媒體가 回轉子間體積內에서 飽和壓力에 達한 時點부터 沸騰開始까지의 時間 즉 沸騰遲延時間은 零으로 한다.

3.2 基礎式

吸入-膨脹-吐出의 各行程에 대해서 計算微少時間 Δt 사이의 狀態量變化는, 에너지保存의 法則으로부터

$$\Delta U - \Delta H - P\Delta V + \Delta Q = 0 \quad (4)$$

여기서 各行程이 斷熱的으로 행해진다면 $\Delta Q=0$ 이다. 또한 ΔU 는 Δt 사이에 하나의 回轉子間體積 속의 热媒體에 蓄積되어지는 에너지이며, ΔH 는 Δt 사이에 하나의 回轉子間體積內를 流出入하는 エンタル피의 總合으로 다음 式(5), (6), (7)과 같이 구한다.

吸入行程에 있어서의 ΔH 는

$$\Delta H = \Delta G_{int}h_{int} + \Delta G_{li}h_{li} - \Delta G_{lo}h_{lo} \quad (5)$$

膨脹行程에 있어서의 ΔH 는

$$\Delta H = \Delta G_{li}h_{li} - \Delta G_{lo}h_{lo} \quad (6)$$

吐出行程에 있어서의 ΔH 는

$$\Delta H = -\Delta G_{ex}h_{ex} \quad (7)$$

式(5), (6), (7)에 있어서 吸入量 ΔG_{int} , 漏泄流入量 ΔG_{li} , 漏泄流出量 ΔG_{lo} 및 吐出量 ΔG_{ex} 의 計算은, 吸入孔, 漏泄孔 및 吐出孔의 各 流出入通路에 있어서流入口와 流出口狀態에 對한 에너지式으로 求할 수 있다. 즉 이들 流出入通路에 있어서, 流入口의 流速을 流出口의 流速에 比해 無視할 수 있을 정도로 작다고 가정하면 에너지式은

$$h_i = h_0 + \omega^2/2 \quad (8)$$

式(8)를 이용하면, 吸入熱媒體量은

$$\Delta G_{int} = \alpha_{int} \Delta t \bar{A}_{int} \sqrt{2(h_{int} - h)/v^2} \quad (9)$$

여기서 h 와 v 는 吸入孔出口의 壓力 P 및 吸入孔에 있어서 流出入過程이 等엔트로피의 이라는 假定으로부터 구한 乾度 x 的 函數이며, h_{int} 는 吸入壓力 P_{int} 및 乾度 x_{int} 的 函數이다. 그러나 吸入孔出口의 壓力比 P/P_{int} 가 臨界壓力比 p_c/P_{int} 보다 작은 경우는 h 와 v 는 P_c 및 x_c 的 函數이고, 이때의 流量은 臨界流量과一致한다. 臨界壓力 P_c 는 Fig. 10 으로부터 求한다.

또한 式(8)를 利用하면 漏泄量은

$$\Delta G_{lk} = \alpha_{lk} \Delta t \bar{A}_{lk} \sqrt{2\Delta h/v_{lk}^2} \quad (10)$$

같은 方법으로 吐出量의 計算式은

$$\Delta G_{ex} = \alpha_{ex} \Delta t \bar{A}_{ex} \sqrt{2(h-h_{ex})/v_{ex}^2} \quad (11)$$

漏泄量 및 吐出量의 計算에 있어서도 吸入量計算手法과 같이 臨界流量을 考慮 計算한다. 만일 液體의 热媒體가 流入하여 回轉子間體積 속에서 沸騰하는 경우, 沸騰後의 热力學的 平衡狀態 및 沸騰後의 狀態變化는, 氣泡生成時의 上昇壓力 ΔP_b 에 의한 液體의 體積減少 ΔV_b 는

$$\Delta V_b = -\Delta P_b V_{1,sat}/E \quad (12)$$

여기서 $V_{1,sat}$ 는 飽和壓力 P_{sat} 에서 热媒體의 體積이며, E 는 體積彈性係數로서 $v/\left(\frac{\partial v}{\partial p}\right)_T$ 로 定義된다.

또한 沸騰後의 比內部에너지 및 比體積은 式(13), (14)에 의해 求한다.

$$u_{ba} = x_{ba} u_g + (1-x_{ba}) u_l \quad (13)$$

$$v_{ba} = x_{ba} v_g + (1-x_{ba}) v_l \quad (14)$$

여기서 u_g, u_l 및 v_g, v_l 은 壓力 P_{ba} 의 函料이다. 本 膨脹機가 吸入-膨脹-吐出의 各 行程을 行하는 동안의 内部일은

$$L_i = \sum_{ss}^{\text{ee}} \bar{P} \Delta V \quad (15)$$

또한 内部効率 η_i 와 體積効率 η_v 는 다음과 같이 定義한다.

$$\eta_i = L_i / \sum_{ss}^{\text{ee}} \Delta G_{int} (h_{int} - h_{ex}) \quad (16)$$

$$\eta_v = \sum_{ss}^{\text{ee}} \Delta G_{int} / \rho_{int} \sum_{ss}^{\text{ee}} \Delta V \quad (17)$$

热媒體인 水蒸氣의 物性值는 實用國際狀態式⁽⁷⁾에 따라 計算한다. Fig. 8 은 解析 流程圖를 나타낸다.

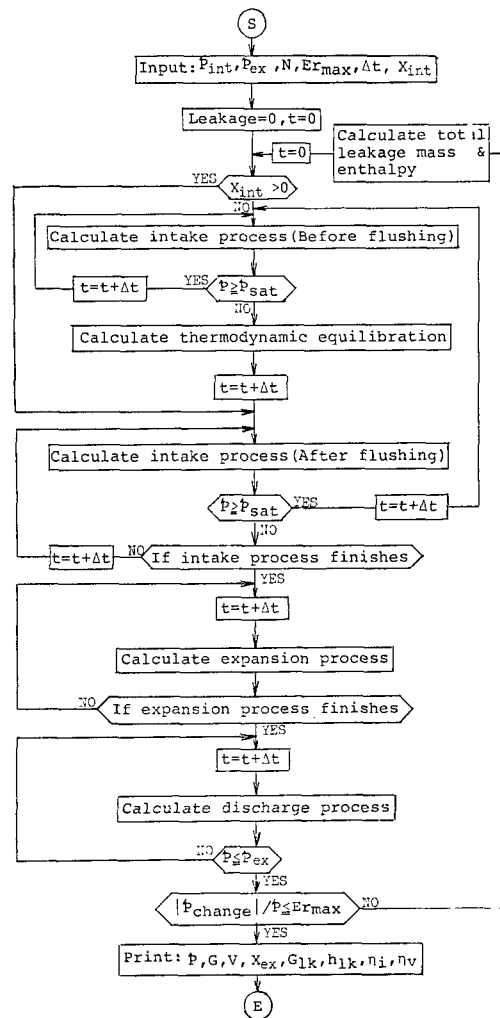


Fig. 8 Flow chart

4. 解析結果

高熱源을 滅熱로부터 얻어지는 것을 생각하여 Fig. 9의 $T-s$ 線圖에서 알 수 있는 바와같이 热媒體인 飽和水 혹은 濕蒸氣의 高熱源溫度 $50^\circ\text{C} \sim 180^\circ\text{C}$ 에서부터 膨脹機出口의 低熱源溫度 20°C 까지 膨脹시키는 것이 바람직하다. 그러나 膨脹機의 仕様에 따라 吸入壓力으로부터 吐出壓力까지 充分히 膨脹시킬 수 없을 경우에는 多段直列膨脹機에 의해 多段膨脹하는 것으로 간주한다. 本 研究에서의 解析條件은 Fig. 9에서 ①~②過程 ①~③過程 그리고 ④~⑤過程의 壓力比에 對하여 Table 3과 같이 設定하였다.

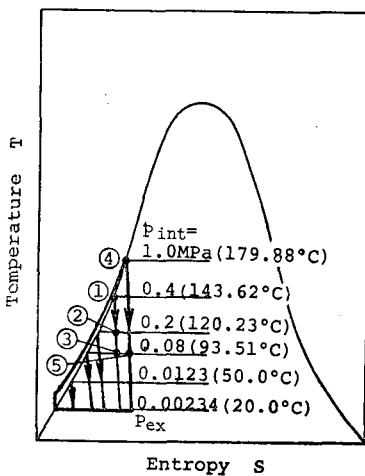


Fig. 9 T-s diagram for water

Table 3 Analytical conditions

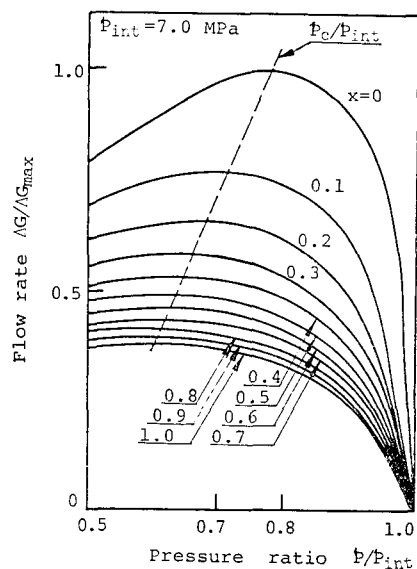
P_{int}	1.0, 0.4 MPa
P_{ex}	0.2, 0.08 MPa
x	0.0~0.08
N	2000~5000
Working fluid	Saturated water or wet steam

4.1 臨界流量에 대한 檢討

飽和蒸氣-飽和水의 二相流가 吸入孔 혹은 漏泄通路를 通過할 때 流出路前後의 壓力差에 의한 蒸發을 同伴하여 乾度가 變化한다. 이와같은 경우 兩相이 热力學的平衡狀態에 있다고 假定하여 式(9)에 의한 吸入流量計算結果의 一例를 Fig. 10에 나타낸다. Fig. 10으로부터 壓力比가 低下함에 따라 流量은 增加하지만 어느 壓力比에서 最大值를 취한다. 이點에서의 壓力이 臨界壓力 P_c 이며, 이때의 流量이 臨界流量 G_c 이다. 臨界壓力 以下에서의 吸入流量은 臨界流量과同一값을 갖는다. 式(9), (10), 및 (11)에서의 吸入流量, 漏泄流量 및 吐出流量의 計算에 있어서 臨界壓力은 上記와 같은 方法으로 計算, 臨界流量을 考慮한다.

4.2 指壓線圖에 대한 檢討

吸入孔, 吐出孔의 形狀 및 容積比等의 膨脹機仕様으로부터 정해지는 内部壓力比와 實際의 運轉壓力比가 다를 경우에는 過膨脹 혹은 不足膨脹等의 現狀이 일어난다. Fig. 11은 吐出壓力을 一定하게 하고 吸入壓力

Fig. 10 Effects of P/P_{int} on flow rate with change of quality

을 變化시킨 경우인 不足膨脹, 理想膨脹 및 過膨脹의 각각에 대한 指壓線圖의 典型적인 例를 나타낸 것이다. 不足膨脹의 경우는 热媒體가 膨脹機에 供給한 일量에 比해 膨脹機가 生成하는 일量이 적으며, 膨脹이 끝난 時點에서의 壓力이 設定한 吐出壓力 보다 높은 狀態에서 吐出해 버린다. 理想膨脹은 膨脹機가 热媒體가 外部로부터 가지고 들어온 일量을 充分히 生成하여 膨脹이 끝난 時點에서의 壓力이 設定吐出壓力과 一致하는 경우로서 바람직한 膨脹이다. 또한 過膨脹은 膨脹이 끝난 時點에서의 壓力이 設定吐出壓力보다 낮아 既吐出된 热媒體가 逆漏泄되어 들어오는 狀態이므로 過膨脹이 일어난 部分만큼 負의 일을 하는 것이다.

4.3 壓力比의 影響

Fig. 12은 스크루우膨脹機出口壓力을 一定히 하고入口壓力을 變化시킨 경우의 指壓線圖를, Fig. 13은 이때의 内部効率 및 體積効率의 變化를 表示한 것이다. Fig. 12에서 吸入壓力이 어떤 압력 以下로 낮아지면 過膨脹이 일어나, 그것에 의해 線圖일이 減少하며, 반대로 吸入壓力이 커지면 膨脹이 不充分한 것을 알 수 있다. 이와같은 過膨脅 혹은 不足膨脅에 의한 内部効率의 減少를 Fig. 13에서 확실히 알 수 있다. 즉 吸入, 吐出의 壓力比가 클수록 하나의 回轉子體積속에 吸入

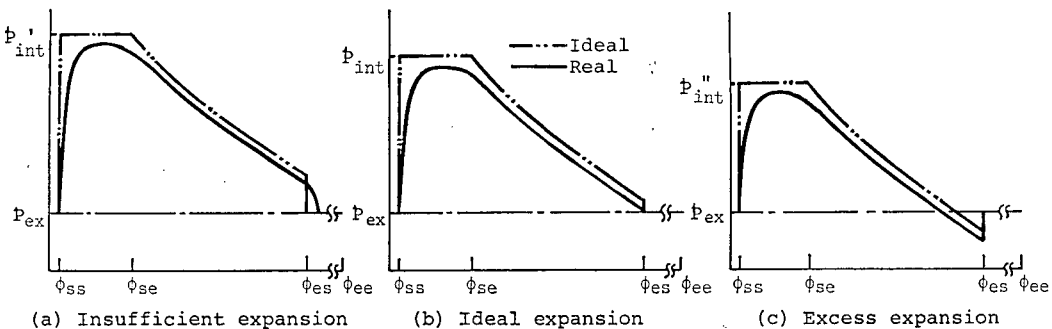
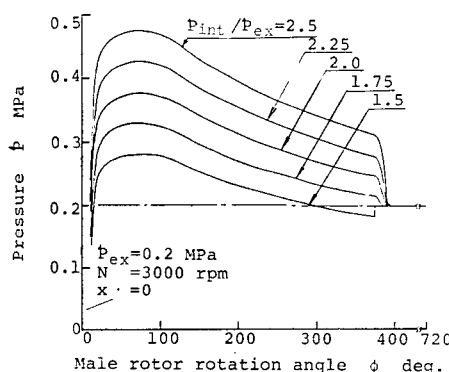
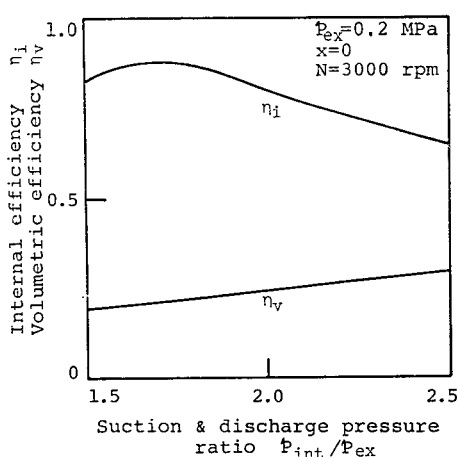


Fig. 11 Typical indicator diagram

Fig. 12 Variation of indicator diagram due to pressure ratio P_{int}/P_{ex} Fig. 13 Effect of pressure ratio P_{int}/P_{ex}

하는 热媒體가 增加하여 膨脹이 不充分하게 되므로 内部効率이 減少한다. 또한 内部効率이 最大値가 되는 壓力比보다 작아지는 경우에는 過膨脹에 의한 線圖의 減少가 内部効率을 低下시킨다. 體積効率은 吸入壓力이 增加와 함께 向上하고 있다.

4.4 乾度의 影響

Fig. 14는 吸入壓力 $P_{int}=0.4$ MPa, 吐出壓力 $P_{ex}=0.2$ MPa 일때 入口热媒體의 乾度를 變化시킨 경우의 指壓線圖의 變化를 나타낸다. P_{int}/P_{ex} 의 壓力比가 2 일때 乾度 x 가 0.01을 넘어서면 過膨脹의 現象이 일어나고 있는 것을 알 수 있다. 過膨脹이 일어나지 않는 범위에서 膨脹機性能에 미치는 乾度의 影響을 檢討하기 위해 吸入과 吐出壓力比 P_{int}/P_{ex} 를 5로 높여 解析을 하였다. Fig. 15는 $P_{int}/P_{ex}=0.4/0.08=5$ 의 경우 乾度가 指壓線圖에 미치는 影響을 나타내고 있다. Fig. 16은 $P_{int}/P_{ex}=1.0/0.2$ 및 $0.4/0.08$ 의 경우에 대해 内部効率 및 體積効率에 미치는 乾度의 影

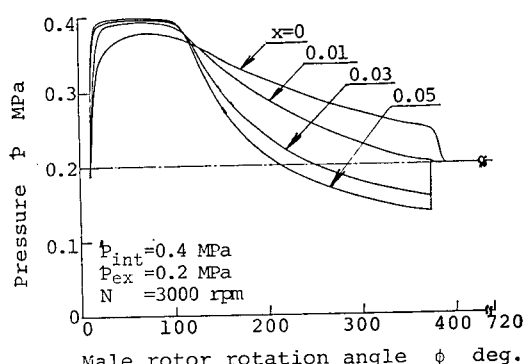


Fig. 14 Variation of indicator diagram due to quality (1)

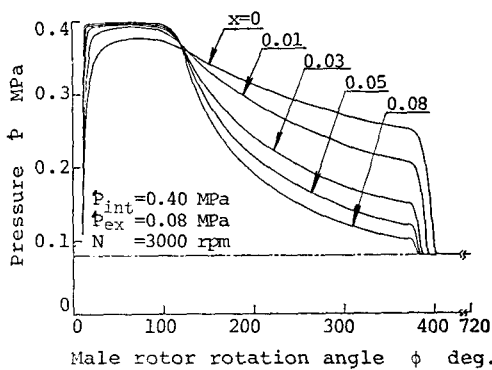


Fig. 15 Variation of indicator diagram due to quality (2)

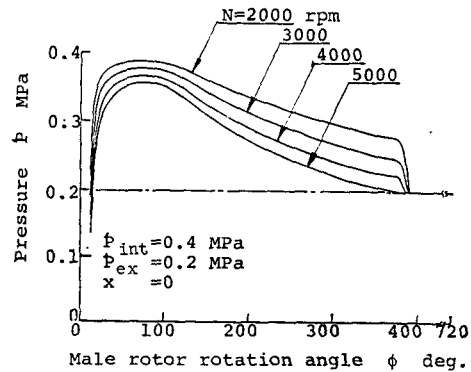


Fig. 17 Variation of indicator diagram due to male rotor revolution

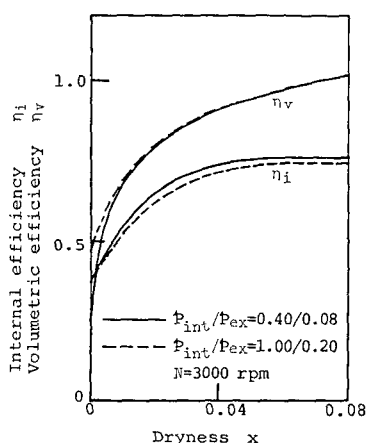


Fig. 16 Effect of dryness

響을 나타낸다. 乾度가 클수록 入口熱媒體의 密度가 낮아지므로 式 (9)에서 入口熱媒體의 엔탈피 h_{int} 가增加하여 體積効率를 向上시킨다. 内部効率은 乾度增加와 함께 증가하고 있으나 어떤 乾度以上에서는 거의變化하지 않고 있다. 이와같은 現象은 低乾度域에서는 吸入熱媒體의 膨脹이 极히 不充分하므로, 높은 内部에너지가 갖고 있는 热媒體가 그냥 吐出해 버리기 때문에 内部効率이 낮다. 高乾度域에서는 不足膨脹에 의한 損失은 減少하지만, 반면 線圖일이 減少하여 서로相殺되므로 内部効率의變化는 크지 않다. 吸入과 吐出의 壓力比가 同一值임에도 불구하고 吸入壓力이 높을 때 内部効率은 다소 높은 값을 나타내고 있으나 内部効率은 약간 낮다. 이것은 高壓일수록 吸入壓力과 吐出壓力 사이의 엔탈피差가 크기 때문이다.

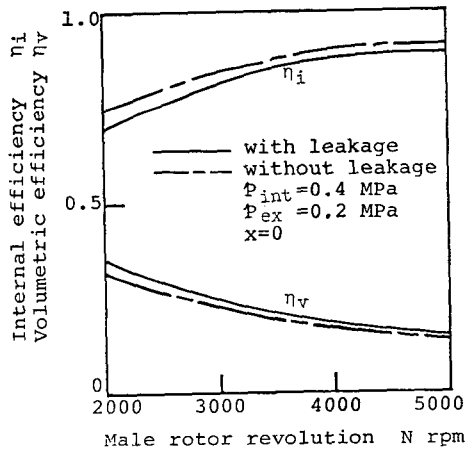


Fig. 18 Effect of male rotor revolution

4.5 回轉數와 漏泄의 影響

Fig. 17은 P_{int}/P_{ex} 가 0.4/0.2, 乾度가 0인 경우 수回轉子回轉數에 의한 指壓線圖의 变化를, 또한 Fig. 18은 그 때의 内部効率 및 體積効率의 变化를 表示한다. Fig. 17에서 回轉數가 클수록 吸入孔에서 壓力損失이 큰 것을 알 수 있다. 또 Fig. 18에서 回轉數增加와 함께 吸入孔에서 热媒體가 吸入되기 어려워지며, 각漏泄通路에서의 漏泄量도 減少하기 때문에 體積効率이 低下한다. 内部効率은 回轉數增加와 함께 向上하지만, 高回轉域에 있어서는 그 增加率이 減少한다.

이것은 低回轉域에서는 漏泄에 의한 非可逆損失과 不足膨脹에 의한 損失의 影響이, 高回轉域에 있어서는 吸入時의 壓力損失의 影響이 크기 때문이다. 또한 Fig.

18에서 1點鎖線으로 표시한 바와 같이 漏泄이 内部効率를 減少시키는 반면 體積効率을 增加시킨다는 것을 알 수 있다. 이것으로부터 漏泄이 스크루우膨脹機의 性能에 미치는 影響이 크므로, 摩擦損失를 增加시키지 않으면서 漏泄通路의 틈새를 最小로 하는 最適틈새에 對한 研究가 要求된다.

5. 結論

熱水 혹은 濕蒸氣 등의 低質에너지로부터 動力を 얻어내는 스크루우膨脹機의 性能解析을 수행하여 다음 사항을 明白히 하였다.

- (1) 吸入壓力과 吐出壓力의 比 P_{int}/P_{ex} 에 의한 内部効率의 變動은 어떤 壓力比에서 最大值를 취하지만, 體積効率은 壓力比增加와 함께 向上한다.
- (2) 入口熱媒體의 乾度의 增加와 함께 内部効率은 向上하지만, 어떤 乾度에서부터 거의 變化가 없다. 體積効率은 乾度의 增加와 함께 急激히 增加한다.
- (3) 回轉數 N 를 增加시키면 體積効率은 低下하지만 内部効率은 向上한다.
- (4) 膨脹機內에서의 過膨脹 혹은 不足膨脹이 膨脹機性能에 미치는 影響이 크기 때문에 吸入熱媒體의 物性值 및 運轉條件에 맞는 最適形狀의 設計가 必要하다.
- (5) 스크루우膨脹機에 對한 解析을 수행하여 3000 rpm에서 内部効率은 約 80% 정도 얻음으로, 將來 動力發生機로서 實用化的 可能성을 確認하였다.

章　　기

本 研究의 計算을 수행함에 있어서 日本 北海道大學

大型計算機센터를 이용하였음을 附記하여, 이에 감사의 뜻을 표한다.

參考文獻

- (1) R.F. Steidel, H. Weiss and J.E. Flower, Performance Characteristics of the Lysholm Engine as Tested for Geothermal Power Applications in the Imperial Valley, Journal of Engineering for Power, Vol. 104-1, pp. 231~240, 1982
- (2) T. Fujii, K. Akagawa, S. Takagi and M. Takeda, Performance of A Here's Turbine Using Two-phase Mixture As a Working Fluid, ASME-JSME Thermal Engineering Joint Cof. Proc. pp. 199~206, 1983
- (3) 土方邦夫, 森康夫, 回轉式二相相流膨脹機の試作, 日本機械學會論文集, 第48卷, 第452號B, pp. 160~167, 1979
- (4) 谷口博, 工藤一彦, 朴日煥, 笠原敬介, 熊澤四郎, スクリュ式二相相流膨脹機の性能解析(第1報), 日本機械學會論文集, 第51卷, 第467號B, pp. 2471~2478, 1985
- (5) 谷口博, 工藤一彦, 朴日煥, 笠原敬介, 熊澤四郎, スクリュ式二相相流膨脹機の性能解析(第2報), 日本機械學會論文集, 第52卷, 第474號B, pp. 910~918, 1986
- (6) 日本機械學會編, 機械工學便覽改訂 第6版, 力學・機械力學, pp. 3~22, 日本機械學會編, 東京, 1984
- (7) 日本機械學會蒸氣表(1980), pp. 106~123, 1980